

京都大学防災研究所 正員 下島 栄一
同上 正員 石塚 安雄

1.はじめに: 本文は、雨水が地面さらには地中へと浸透していく過程における地中の間隙空気の影響を明らかにし、浸透現象を理解するため、底部と閉じた円筒に気乾状態の単一砂柱を作り、その上面に常に一定の基水深を作り、実験を行うという単純化された初期条件、境界条件での浸透を対象として検討を加えたものである。

2.基礎式: 二のような条件下で実験を行うと、間隙空気は浸透面を通して間歇的に外界へ放出される=ヒガ観察され、また浸透が進むにつれて水分分布は浸透面直下には発達する水分量が非常に大きな領域(擬似飽和域)とその下の遷移的領域に連なる比較的水分量の小さな領域(不飽和域)とで構成される=ヒガ明確となる。以下では空気の放出に伴う不連続な閉塞浸透も平均的にヒガ連続現象として扱う=ヒとする。そこで、各領域での水と空気の運動を表す基礎式を以下のよう考える。また擬似飽和域において、水と空気の運動がDarcy則的な表現に従うと仮定すると、その下の次式となる。

$$f = \hat{v} = \hat{k} \left\{ 1 - \frac{p_{a1} - p_{a0}}{x_1} \right\} = \hat{k} \left\{ 1 - \frac{\psi + p_{a1} - p_{a0}}{x_1} \right\} \dots \textcircled{1}, \quad \hat{v}_a = -k_a \frac{p_{a1} - p_{a0}}{x_1} \dots \textcircled{2}$$

=ヒ、 f : 浸透強度, \hat{v} , \hat{v}_a : 本空気の流量流速, \hat{k} , k_a : 透水係数, 透気係数に対応するものであり、位置座標(x)を浸透面を原点に重力方向を正符号とすると、 x_1 : 擬似飽和域下端の座標, p_{a1} , p_{a0} : $x=x_1$, $x=0$ の水の圧力水頭, p_{a1} , p_{a0} : $x=x_1$, $x=0$ の空気圧, $\psi = p_{a1} - p_{a0}$ である。なお、上式は擬似飽和域の体積含水比が一定値(θ_1)にあるとしている。いま、 \hat{v}_a と \hat{v} との関係は $\hat{v}_a = -\gamma \hat{v}$ とおくと、上式より次式をうる。

$$p_{a1} = (1 - \alpha r) x_1 - \psi + p_{a0} - \beta r \dots \textcircled{4}, \quad \alpha r = \frac{k_a}{k_a + \beta r} \dots \textcircled{5}, \quad \beta r = \alpha r (-\psi + p_{a0} - p_{a0}) \dots \textcircled{6}$$

=ヒ、式①を式④を代入すると次式がえられる。 $f = \hat{v} = \alpha r \hat{k} \left\{ 1 + \frac{\beta r / \alpha r}{x_1} \right\} \dots \textcircled{7}$

本来、式①、式②が擬似飽和域での基礎式となるが、以下では γ の代替として式①、式④を考へるとにする。つきに不飽和域における水と空気の運動の式は一般化されたDarcy則を考へればよいので、これらの式と各相に対する連続の式及び空気の状態方程式(等温変化する理想気体と仮定)が、=ヒでの基礎式となる。

3.近似解の誘導: 上述の初期・境界条件、 $x=x_1$ で両相の流量流速が連続する=ヒ、さらには $x=x_1$ (不飽和域の上端)での体積含水比が一定の θ_1 にある=ヒと仮定を考慮し、2.での基礎式系に対し Parlange の手法を修正拡張して用いる=ヒと2次近似は次式となるが、誘導過程で近似的に $\gamma=1$ とおき、この際の αr , βr を α , β と記した。

$$\text{水分分布: } x(\theta, t) = x_1(t) - \int_0^{\theta} F d\theta \dots \textcircled{8}, \quad \text{空気圧分布: } p_a(\theta, t) = p_{a1} + \int_0^{\theta} \frac{dF}{k} d\theta - \int_0^{\theta} A F d\theta \dots \textcircled{9}$$

$$\text{浸透強度: } \int_0^{\theta} f(\theta) dt = \int_0^{\theta} x d\theta = \alpha x_1 - \int_0^{\theta} \beta F d\theta \dots \textcircled{10}, \quad \text{=ヒ } F = D(\theta - A) / \{ K(\theta - A) - \int_0^{\theta} \frac{dF}{k} d\theta \}$$

$$\left(\frac{\partial x}{\partial t} \right) = \frac{\int_0^{\theta} \frac{D(\theta - A)}{K(\theta - A) - \int_0^{\theta} \frac{dF}{k} d\theta} d\theta + \frac{\beta F}{(1 - \alpha r)} \cdot \left[f - \frac{\beta r}{(1 - \alpha r)} \cdot \left\{ (1 - \alpha r) \frac{dF}{dt} + \beta r \frac{dA}{dt} \right\} \right] + \frac{\hat{k}}{(1 - \alpha r)} \left\{ (1 - \alpha r) \frac{d\beta}{dt} + \beta r \frac{dA}{dt} \right\}, \quad A = \frac{k}{k + k_a}$$

記号の意味は、 θ : 体積含水比, $k(\theta)$: 不飽和透水係数, $D(\theta)$: 水の拡散係数, p_a : 大気圧からの増加空気圧, $k_a(\theta)$: 透気係数である。上式で $\alpha(t)$, $\beta(t)$, p_{a0} , p_{a1} , θ_1 , \hat{k} が与えられれば、式⑩より浸透強度の時間変化が決るので、=ヒを式⑧を用いると擬似飽和域の深さが分り、また=ヒを式⑨を用いると水分分布が、式④を考慮して式⑧を用いると空気圧分布が時間の関数として決ると=ヒなる。

4.諸定数・諸変数の決定: 大気圧下にあるU字形をした毛細管の上面に一定の深さのグリセリンを浸透液体として与える=ヒという実験の結果を砂層での基水浸透の場合に適用した結果、 $p_{a0} \div$ 基水深 (h_w) $\dots \textcircled{11}$ となり、またある程度浸透が進んだ状況(擬似飽和域の発達段階)では $(1 - \alpha r) \psi \div$ air entry value (ψ_0) $\dots \textcircled{12}$ と=ヒなる=ヒが分っている。=ヒで、 $p_{a0} \div h_w \dots \textcircled{13}$ と考へると、式⑦、式④、式⑥はそれぞれ以下のよう=ヒなる。

$$f = \alpha r \hat{k} \left(1 - \frac{\psi}{x_1} \right) \dots \textcircled{14}, \quad p_{a1} - h_w = (1 - \alpha r) (x_1 - \psi) \dots \textcircled{15}, \quad \beta r = -\alpha r \psi \dots \textcircled{16}$$

と α と β で、比較的浸透初期の段階にある浸透強度、砂層底部での空気圧(4)および水分の移動はヤキヤキ水次式にほぼ従うことが認められている。

$$f = \frac{S}{2} \sqrt{t} \quad \dots (17), \quad h_{al} = C_1 \ln t + C_2 + h_w \quad \dots (18), \quad \alpha(t) = \rho(0) \sqrt{t} \quad \dots (19)$$

$\alpha = f$, S, C_1, C_2 : 実験定数。また h_{al} は h_w とほぼ同形式の変化をするので、つぎの関係が成立する。 $h_{al} - h_w = C_1 \ln t + C_2' \quad \dots (20)$ C_2' : 定数 $\alpha = \beta$, 式(14)と式(17)および式(18)と式(20)を等置する \Rightarrow と β より、次式の関係をうる。

$$\alpha r = \frac{S}{2} \rho_1 / \left\{ \frac{S}{2} \rho_1 + \hat{K} (C_1 \ln t + C_2') \right\} \quad \dots (21) \quad \alpha = f, \rho_1 = \rho(0)$$

$$\beta r = \frac{S}{2} \rho_1 / \hat{K} - \frac{S}{2} \rho_1 \sqrt{t} / \left\{ \frac{S}{2} + \hat{K} (C_1 \ln t + C_2') \right\} \quad \dots (22)$$

$\alpha r, \beta r$ の時間変化の様子を調べるため、平均粒径がほぼ0.12mmで比較的均一な砂(K-7砂と記す)を用いた厚 L が169cm, 透水深がほぼ1cmの場合の実験例を検討すると図1のようになる。この場合 $S=0.419 \text{ cm}^2/\text{sec}^2$, $C_1=4.73 \text{ cmAg}$, $C_2=-9.7 \text{ cmAg}$ であったが、 C_2' と ρ_1 の値が不明であるので、とりあえず $C_2'=C_2$, $\rho_1=0.2 \text{ cm}^2/\text{sec}^2$ とした(\hat{K} は後述)。この図より、 αr は浸透開始直後で急減するが、その後は非常に緩慢に減少変化すると、 βr はあまり変化しないことが分る。と α と β で、

浸透強度、層底部での空気圧の変化割合及びwetting frontの移動速度が浸透が進行に従ってほぼ一定となるという実験事実(図-3, 4参照)を考慮して $\alpha r, \beta r$ の定義式を調べると、両者は時間とともに一定の値 α_c, β_c となることが考えられる。 $\alpha r \rightarrow \alpha_c, \beta r \rightarrow \beta_c \quad \dots (23)$ その中 α_c と β_c に α が急変変化をしている時間帯は少なくとも擬似飽和域の形成段階は并立する \Rightarrow となる。すなわち、式(23)より $\beta_c \rightarrow \beta_c(0) \cdot d_0 \quad \dots (24)$ となるので、式(16)より $\beta_c = -\frac{d_0}{\alpha_c} \beta_c \quad \dots (25)$ となる。さて、3.の結果を計算するに当り、 $\alpha(t), \beta(t)$ の関係を求める必要がある。

α と β で $t=0$ $\alpha r = d_0$ とし、 $\alpha_c = \frac{d_0 - \alpha_c}{\alpha_0 - \alpha_c}$ の変化を図1の場合に并し $d_0=1$ $\alpha_c=0.28$ (後述)として調べたものが図2であるが、 $\alpha_c = e^{-\lambda t}$ ($\lambda=0.19 \text{ sec}^{-1}$)となるので、これより決る αr と β とする。一 βr はほぼ一定となるので $\beta = \beta_c$ とおく。また β はほぼ90%飽和の値とし、 \hat{K} は $K(0)$ の値を用いる。

5.計算値と実験値との比較: 図-3(a)(b)はK-7砂による浸透強度と層底部の空気圧の計算値と実験値の比較であり、ヤキヤキ $h_w=1 \text{ cm}, L=169 \text{ cm}$ の場合と $h_w=5 \text{ cm}, L=165 \text{ cm}$ の場合である。計算値は破線。また図4は前図の場合及び他の実験条件の場合でのwetting frontの深さの比較である。これらの計算では $\lambda=0.19, \alpha_c=0.28$ としたが、 α_c の値はつきのようにして決定した。すなわち、 α_c を固定して λ を0.19~0.10範囲で変化させると、上記の浸透特性量への影響は浸透初期のみとなり、それ以降の変化はほぼ一致する。また α_c の変化はとくに空気圧の変化に明確な影響を及ぼすことが分ったので、 α_c の値は計算空気圧が実験値とほぼ合致するものを選んだ。これらの図より計算値はほぼ実験値と合致していることが分るので、若干浸透初期は尚問題が残るがほぼ上記の理論的考察の妥当性が保証された \Rightarrow となる。また計算で $K_a(0)/K_0 \approx 3.5$ となつたが、この結果は擬似飽和域での空気抵抗が不飽和域に比べかなり大きくなっていることを意味する。

<参考文献> 1)石原・下島: 東大防炎研年報, 昭54, 2)石原・下島: 東大防炎研報, 昭53, 3)石原・下島: 東大防炎研年報, 昭56, 4)石原・下島: 東大防炎研報, 昭51

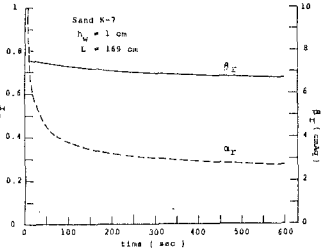


図-1 $\alpha r, \beta r$ の変化

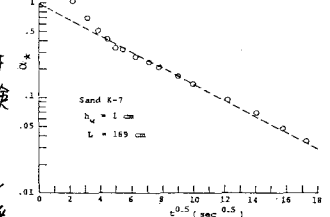


図-2 α^* の変化

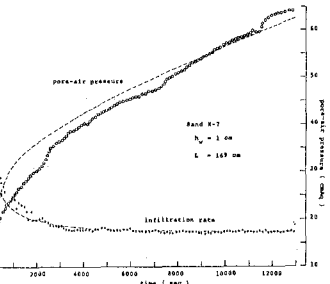


図-3(a) 浸透強度と砂層底部の空気圧

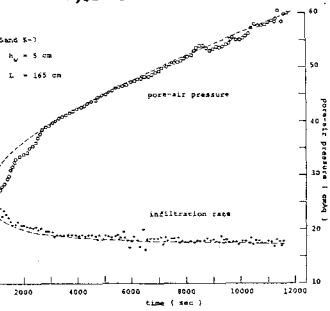


図-3(b) 浸透強度と砂層底部の空気圧

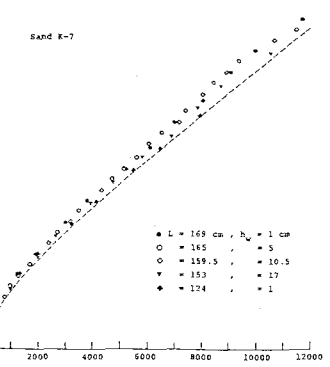


図-4 wetting front の深さ